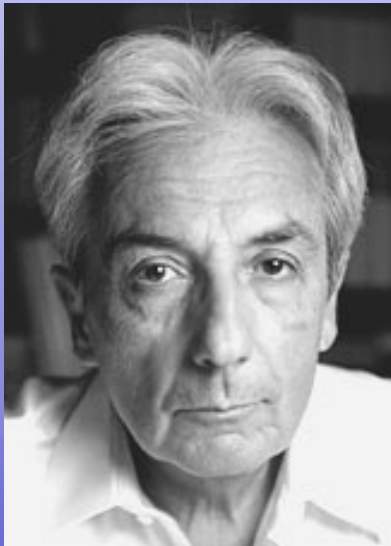
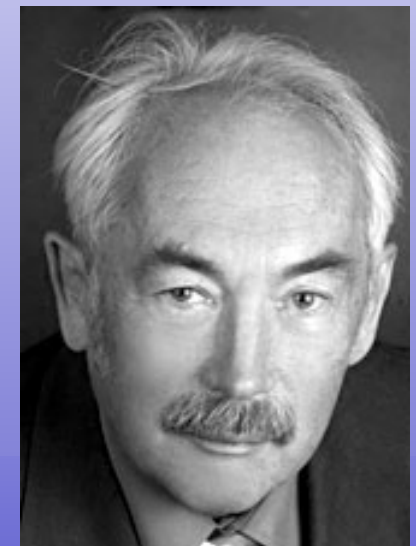


Premio Nobel del Física 2007

MAGNETO-RESISTENCIA GIGANTE: DEL LABORATORIO AL DISCO DURO DEL PC



- *Descubrimiento de la magneto-resistencia gigante (GMR).*
- *La GMR ha revolucionado las técnicas de lectura de datos en discos duros.*
- *La GMR ha permitido desarrollar una nueva generación de sensores y dispositivos electrónicos.*
- *La GMR constituye una de las primeras grandes aplicaciones de la nanotecnología.*



Albert Fert (1938)
Université Paris-Sud
Unité Mixte de Physique CNRS/THALES
Orsay, France

Peter Grünberg (1939)
Forschungszentrum Jülich
Jülich, Germany

Esquema de la charla

- Electrónica versus espintrónica
- Aislantes, semiconductores, metales
- Tecnología FET-MOS
- Materiales ferromagnéticos
- ¿Qué es la magnetoresistencia?
- Magnetoresistencia normal
- Magnetoresistencia gigante en mult capas magnéticas
- La válvula de spin
- Aplicaciones a la lectura de datos
- Memorias RAM basadas en válvulas de spin
- Otras consecuencias y desarrollos

TECNOLOGÍA MOS

DISPOSITIVOS SEMICONDUCTORES

Memoria RAM

Procesador

Unidades USB

Discos ópticos

OPTOELECTRÓNICA

LÁSERES/FOTODIODOS
SEMICONDUCTORES

ELECTRÓNICA: carga/corriente

MAGNETISMO

Disco duro

Discos flexibles

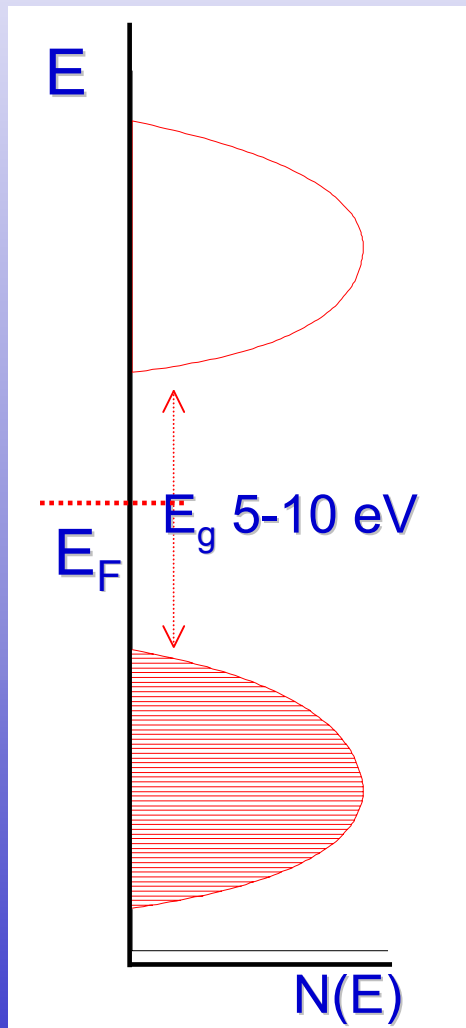
MAGNETISMO:

Espín

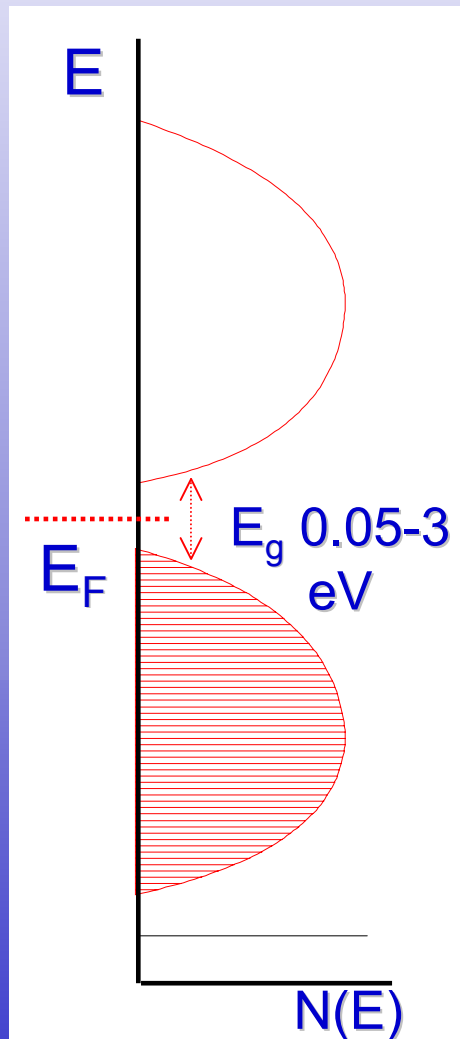
¿ESPINTRÓNICA?

Bandas de energía en los sólidos

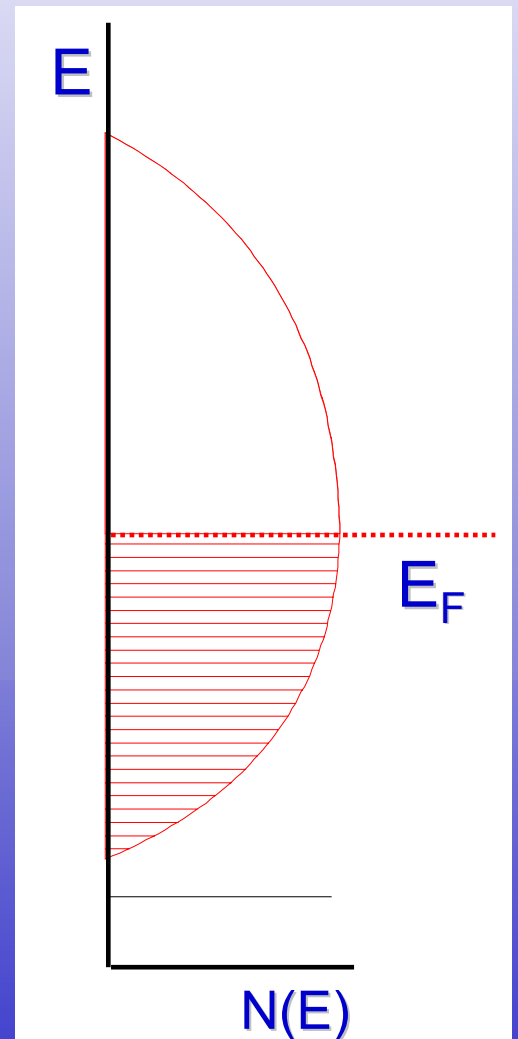
AISLANTE



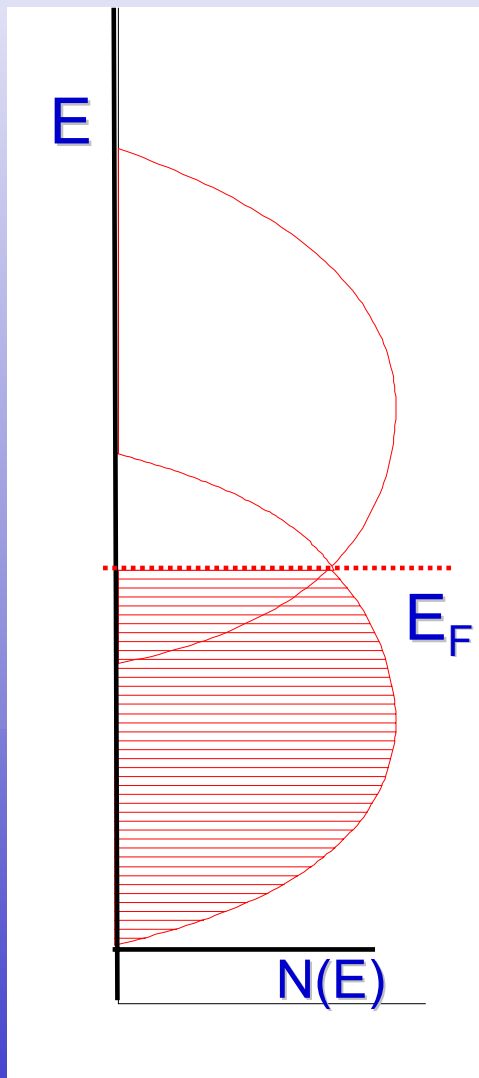
SEMICONDUCTOR



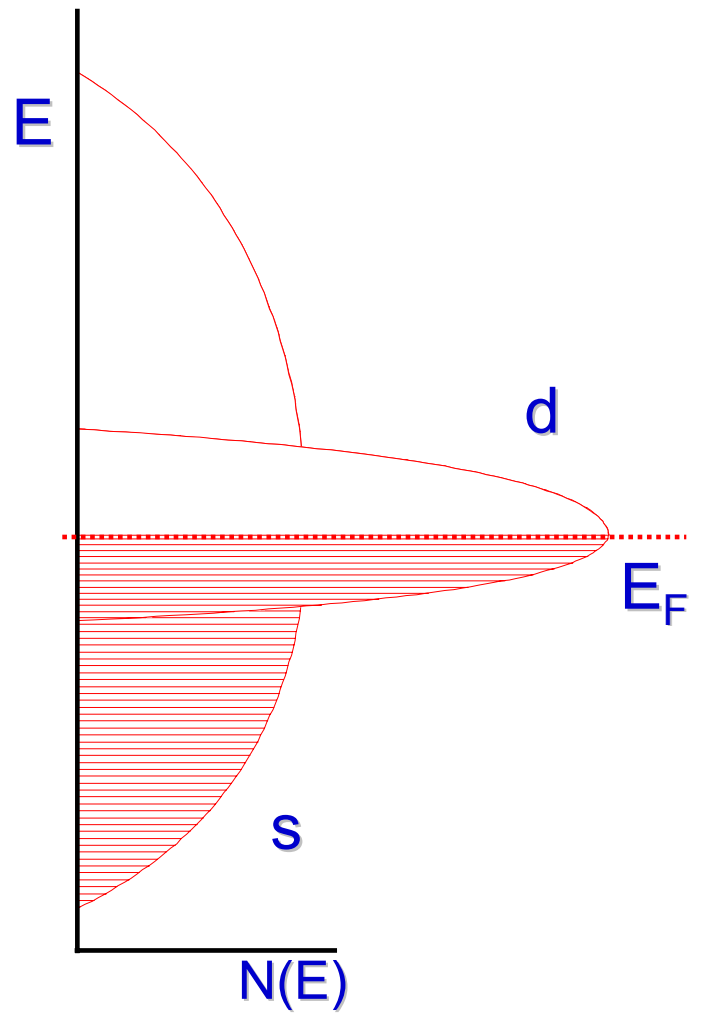
METAL



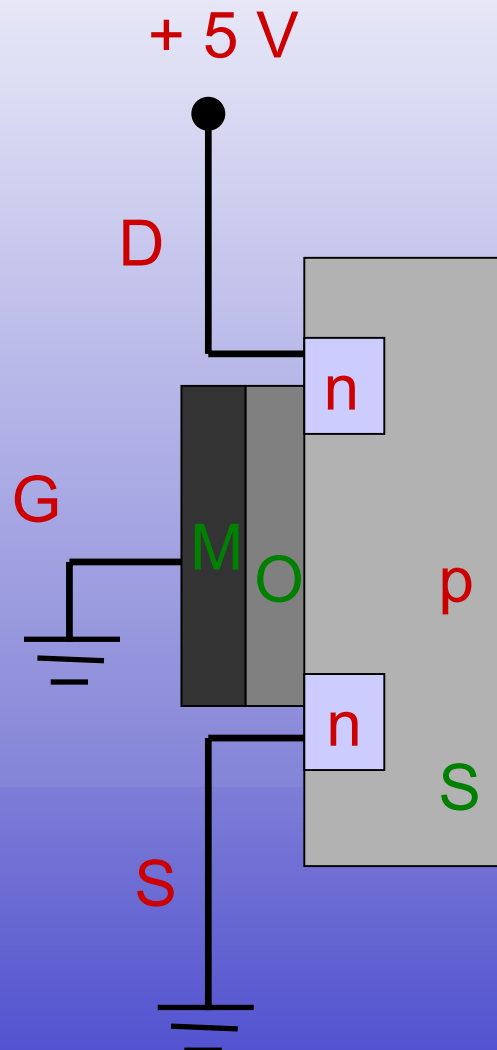
Metal o semimetal



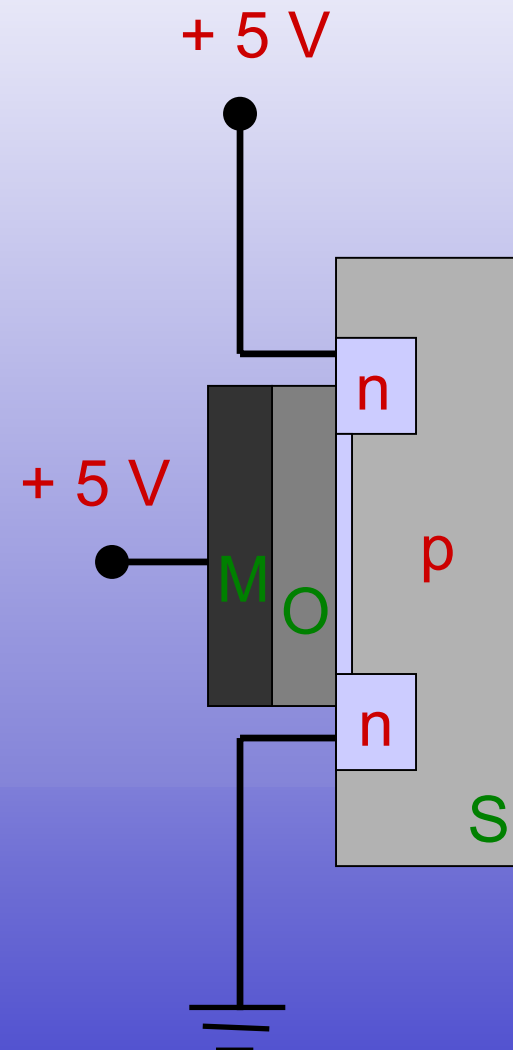
Metales de transición



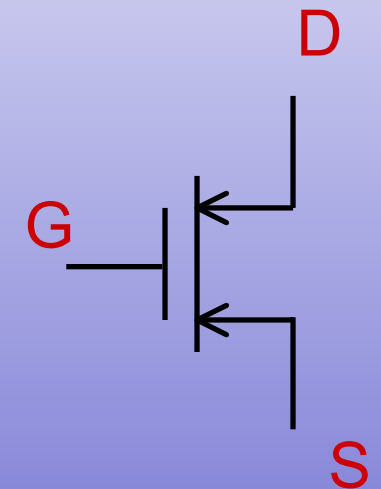
TECNOLOGÍA MOS: Transistor FET-MOS



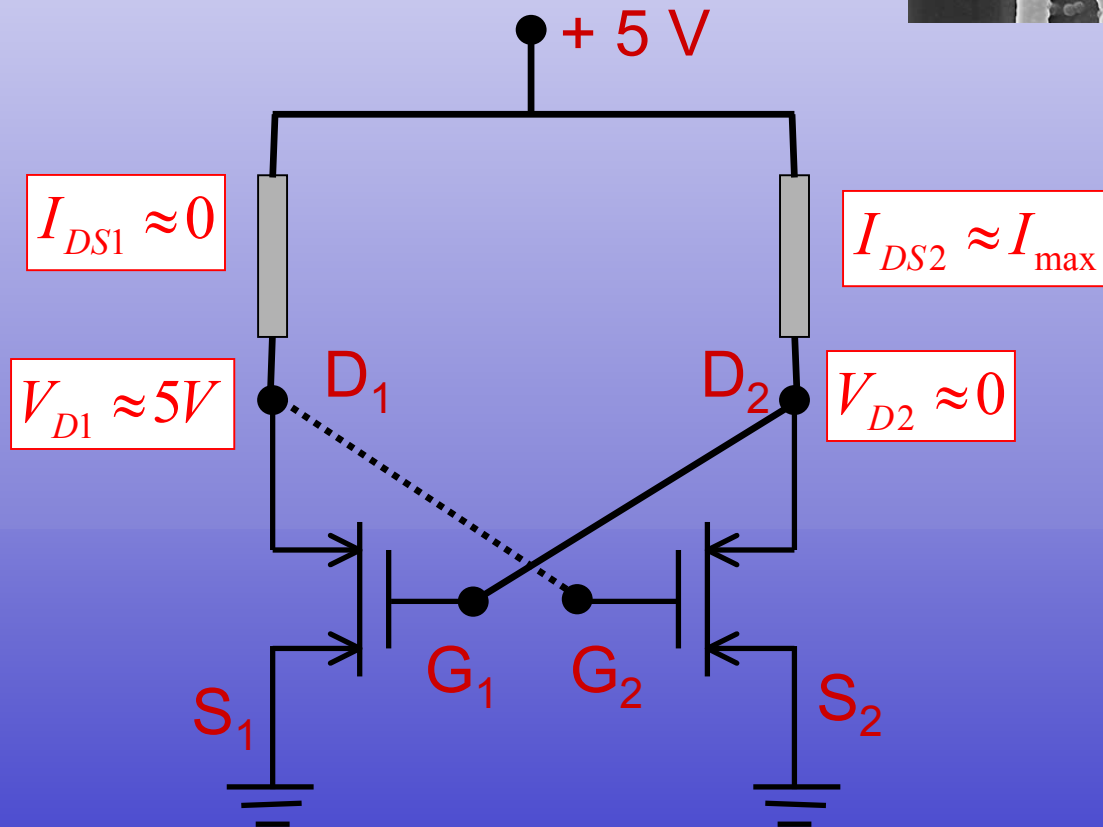
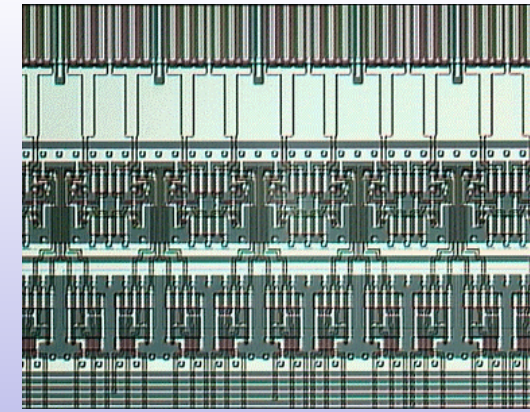
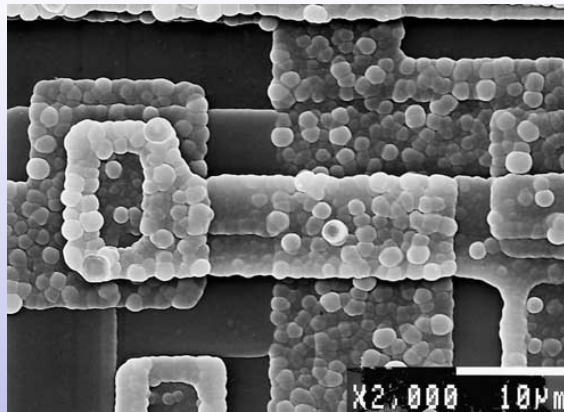
$$R_{DS} > 10 M\Omega$$



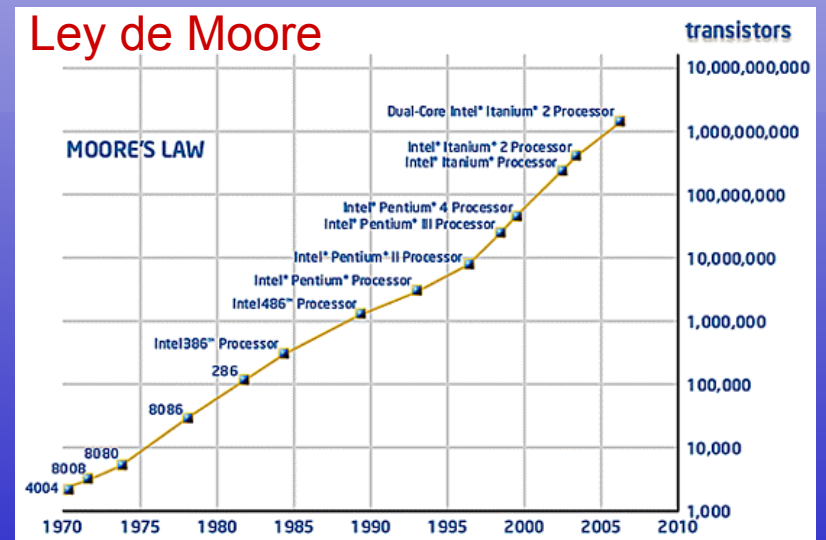
$$R_{DS} \approx 0$$



Bit MOS

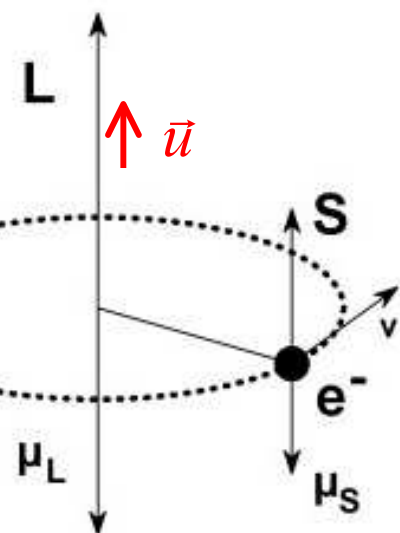


Ley de Moore



Materiales magnéticos

Contienen átomos de elementos de transición (capas *d* incompletas: Cr, Mn, Fe, Co, Ni) o tierras raras (capas *f* incompletas: Gd, Nd, Eu, etc)



$$\vec{l} = m_e r^2 \omega \vec{u}$$

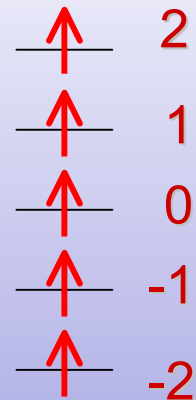
$$\vec{m}_l = IS \vec{u} = e \frac{\omega}{2\pi} \pi r^2 \vec{u}$$

$$\vec{m}_l = \frac{e}{2m_e} \vec{l}$$

$$m_l = \frac{e}{2m_e} \hbar L = \mu_B L$$

$$m_s = g\mu_B S \approx 2\mu_B S$$

Mn ($3d^54s^2$)

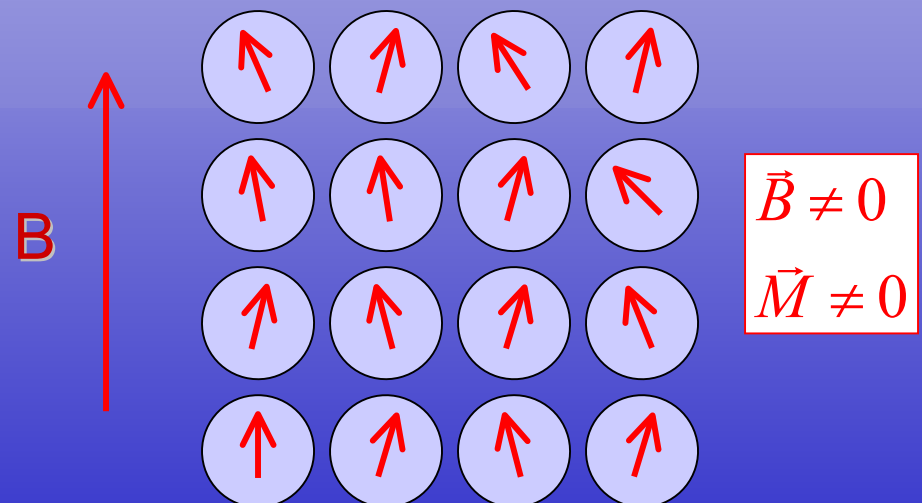
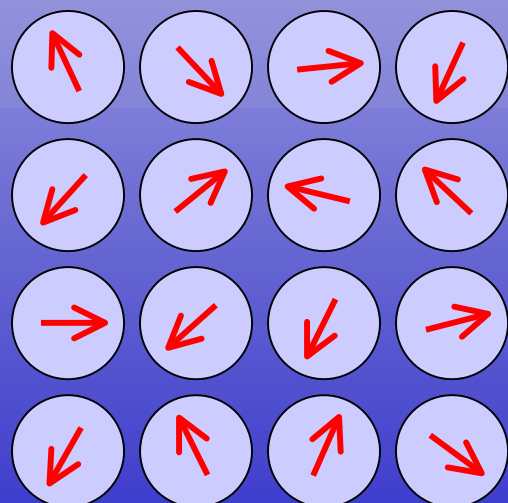


$$L = 0 \quad S = \frac{5}{2} \quad J = \frac{5}{2}$$

$$m = 5\mu_B$$

Materiales paramagnéticos

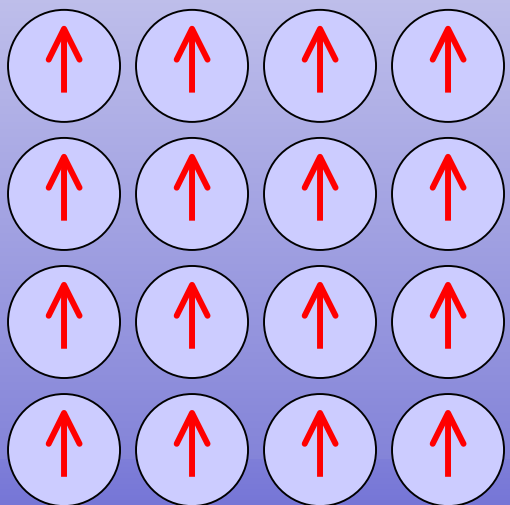
$$\vec{B} = 0 \quad \vec{M} = 0$$



$$\vec{B} \neq 0 \quad \vec{M} \neq 0$$

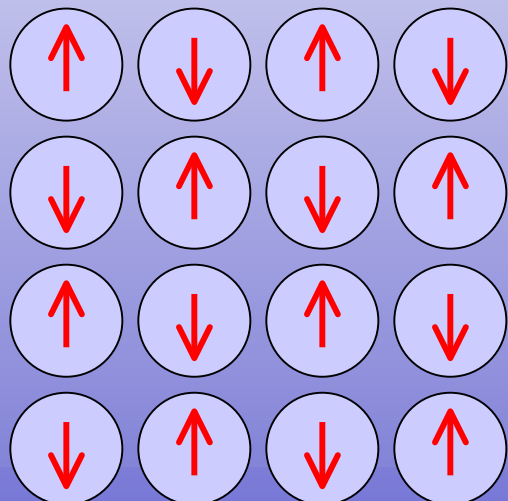
Materiales ferromagnéticos

$$\vec{B} = 0$$
$$\vec{M} \neq 0$$

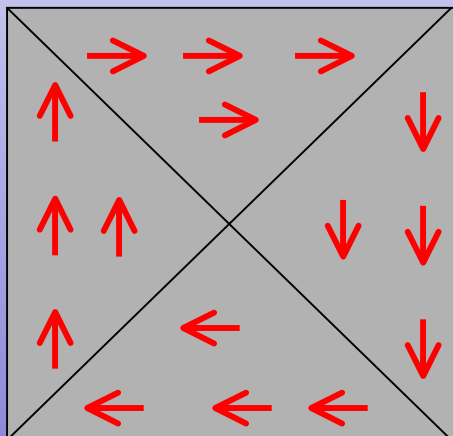
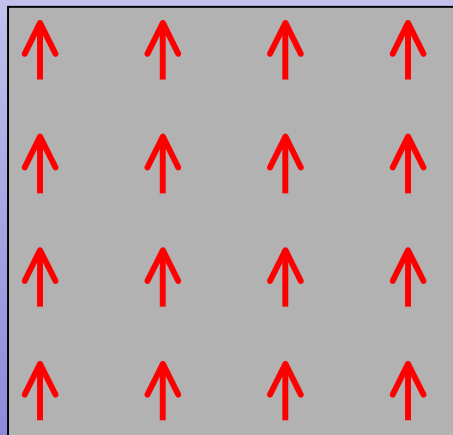


Materiales antiferromagnéticos

$$\vec{B} = 0$$
$$\vec{M} = 0$$



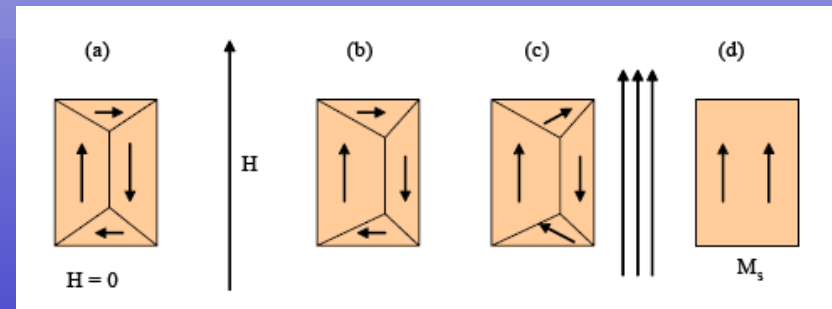
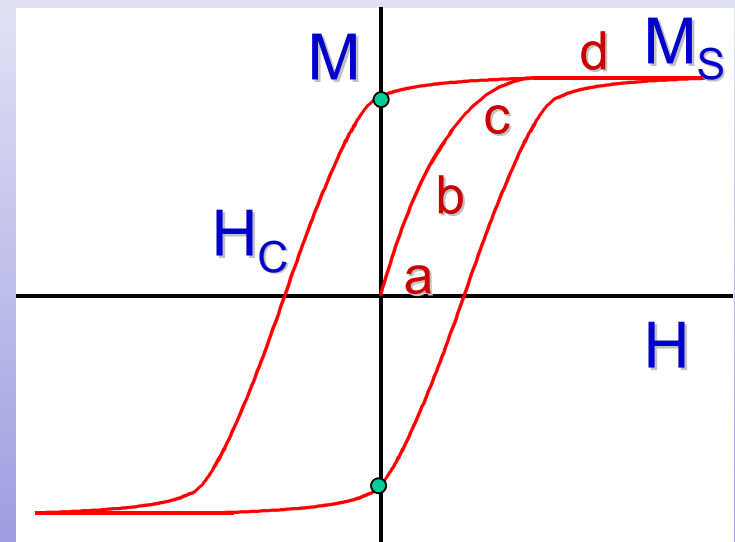
Dominios magnéticos



$$\vec{B} = 0$$
$$\vec{M} \neq 0$$

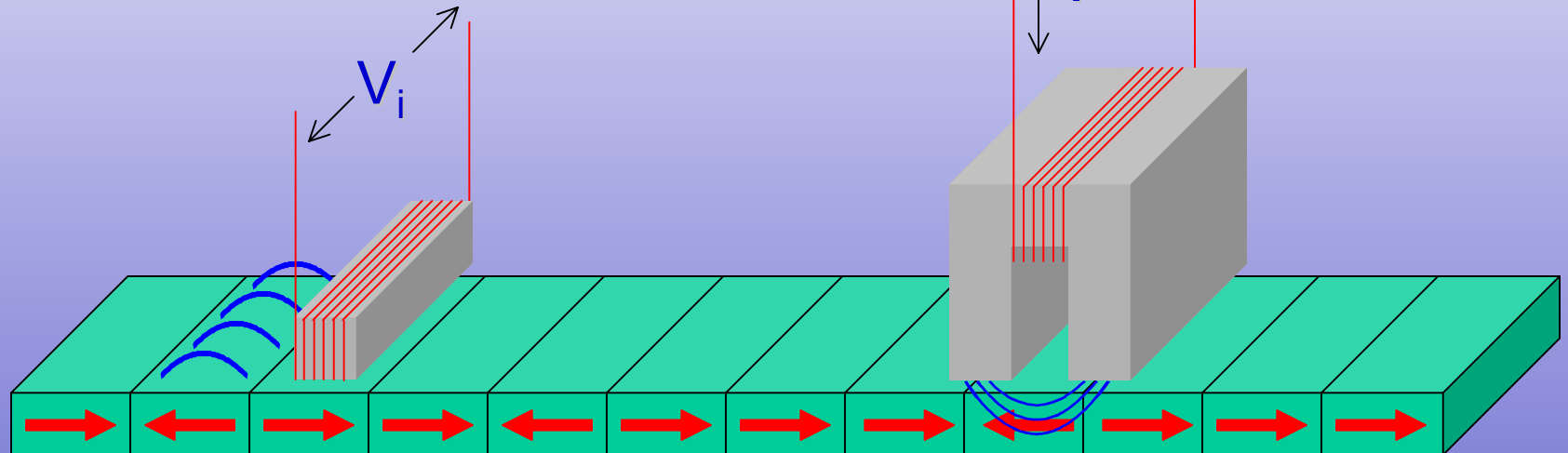
$$\vec{B} = 0$$
$$\vec{M} = 0$$

Histéresis



Lectura

$$V_i = -NS \frac{dB}{dt}$$

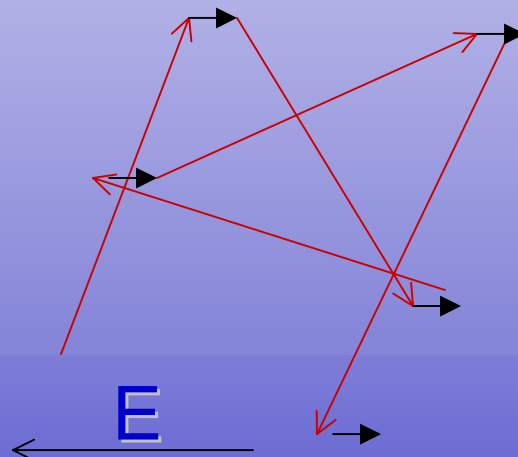
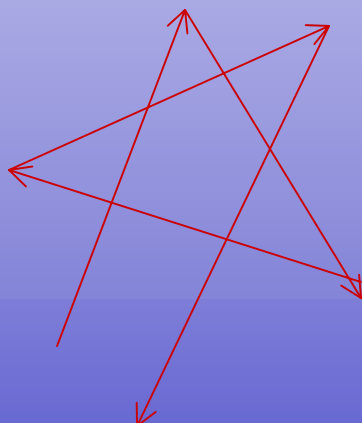


Material ferromagnético

¿Qué es la magnetorresistencia?

$$\frac{R(B) - R(0)}{R(0)} = \frac{\Delta R}{R(0)} = CB^2$$

Origen de la magnetorresistencia “normal”



$$J = en\Delta v = en\mu E$$

$$J = \sigma E$$

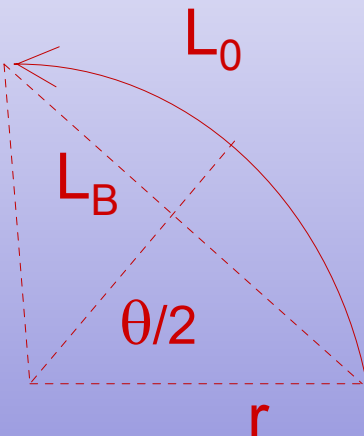
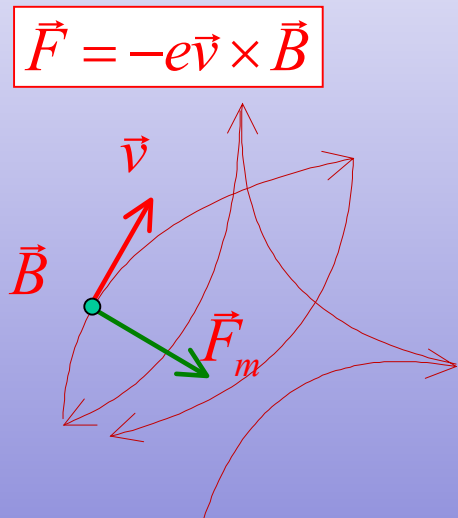
$$J = \frac{I}{S} \quad E = \frac{V}{L}$$

$$E = 0 \quad \langle v \rangle = 0$$

$$\Delta v = a\tau = \frac{eE}{m^*}\tau = \frac{e\tau}{m^*}E = \mu E$$

$$R = \frac{V}{I} = \frac{L}{\sigma S}$$

Origen de la magnetorresistencia “normal”



$$L_0 = r\theta$$

$$L_B = 2r \sin \frac{\theta}{2} \approx 2r \left(\frac{\theta}{2} - \frac{\theta^3}{8} \right)$$

$$\frac{\Delta L}{L_0} = \frac{L_0 - L_B}{L_0} \propto \theta^2$$

$$\omega^2 r = \frac{evB}{m} = \frac{e\omega r B}{m}$$

$$\omega_C = \frac{eB}{m}$$

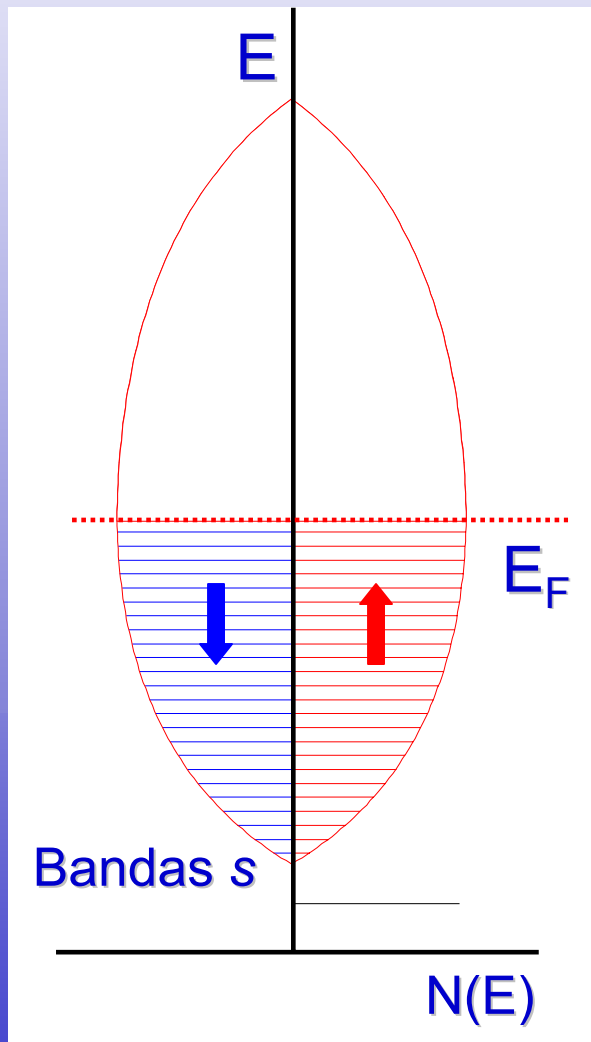
$$\theta = \omega_C \tau = \frac{eB}{m} \tau = \frac{e\tau}{m} B = \mu B$$

$$\frac{\Delta R}{R_0} = \frac{\Delta L}{L_0} \propto (\mu B)^2$$

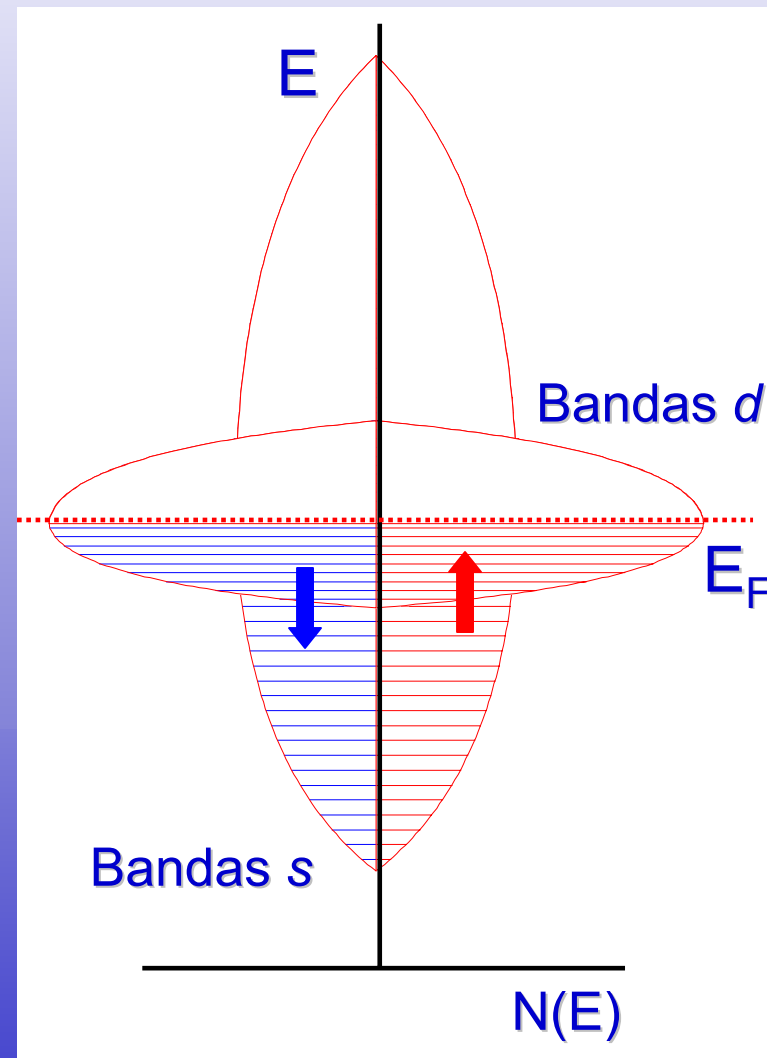
$$\mu \approx 0.5 \text{ m}^2/\text{Vs} \quad B = 0.1 \text{ T}$$

$$\frac{\Delta R}{R_0} \approx 2.5 \times 10^{-3}$$

Metales normales

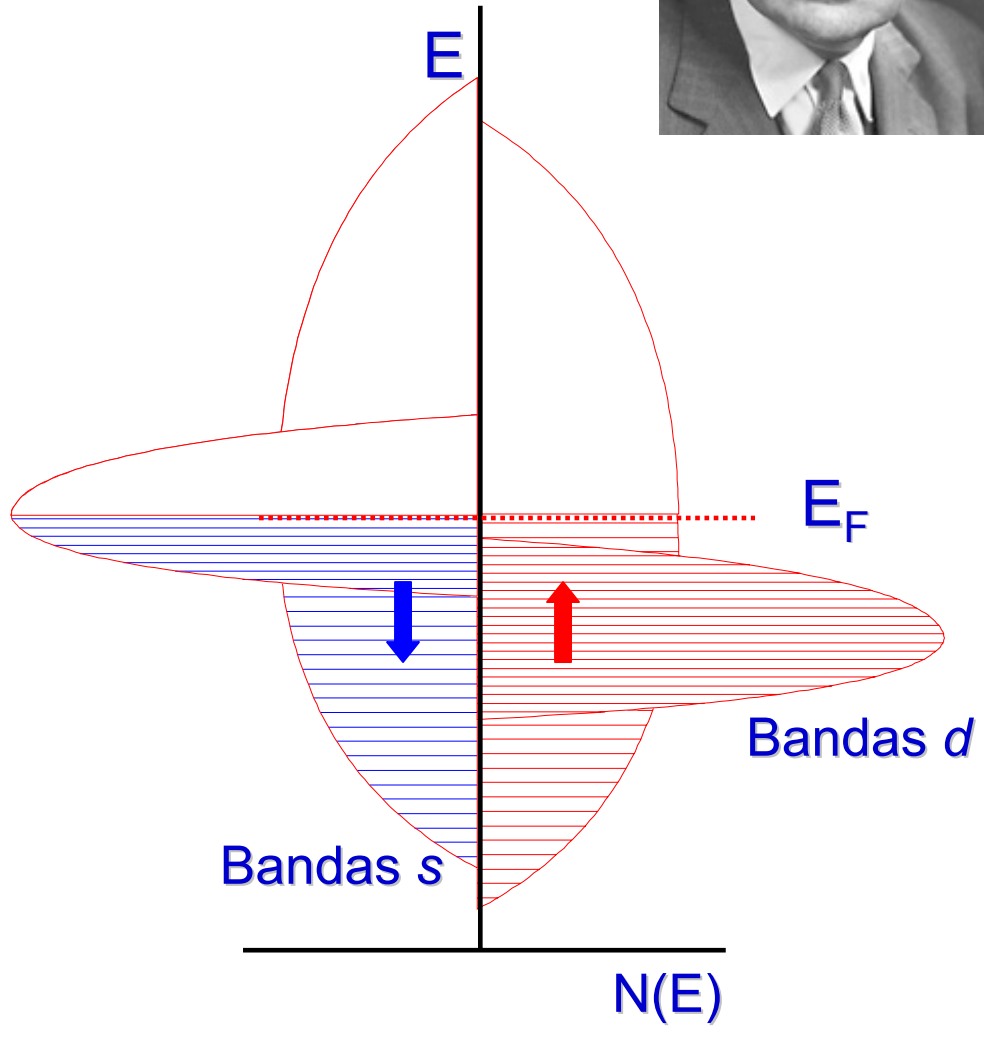


Metales de transición (Mn, Fe, Co, Ni)



Sir Nevill F. Mott

Premio Nobel de Física 1977

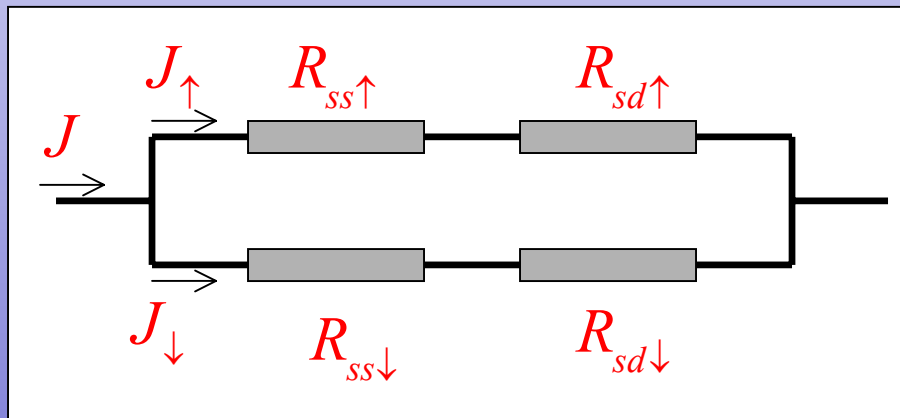


$$J = \sigma E$$

$$J = J_{\uparrow} + J_{\downarrow} = (\sigma_{\uparrow} + \sigma_{\downarrow})E$$

$$\sigma_{\uparrow} = \frac{e^2 n_{\uparrow} \tau_{\uparrow}}{m^*}$$

$$\sigma_{\downarrow} = \frac{e^2 n_{\downarrow} \tau_{\downarrow}}{m^*}$$

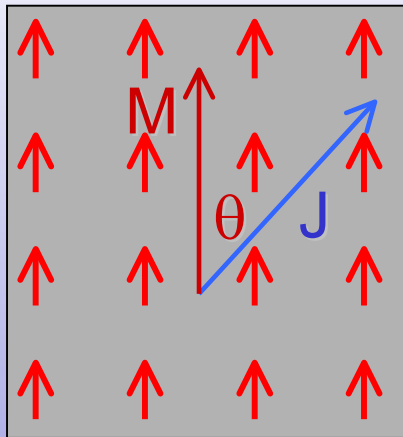


Espín mayoritario: "up" \uparrow

$$R_{ss} < R_{sd} \quad R_{sd\uparrow} < R_{sd\downarrow}$$

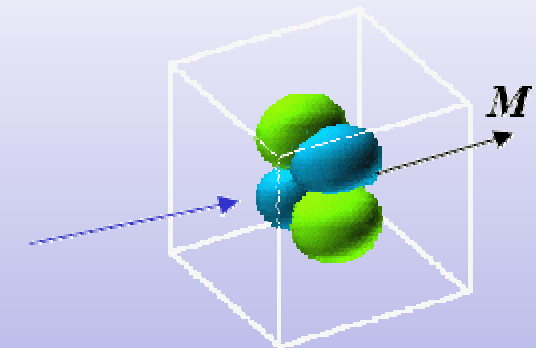
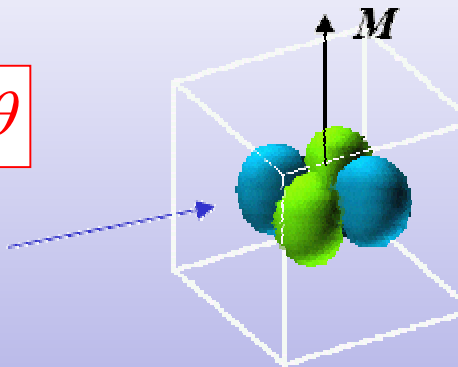
$$\tau_{\uparrow} \gg \tau_{\downarrow}$$

Magnetoresistencia anisotrópica



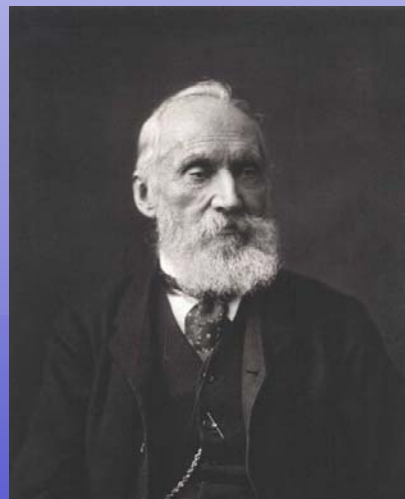
$$\rho = \rho_0 + \Delta\rho \cos^2 \theta$$

$$\frac{\Delta\rho}{\rho} \approx 0.01$$



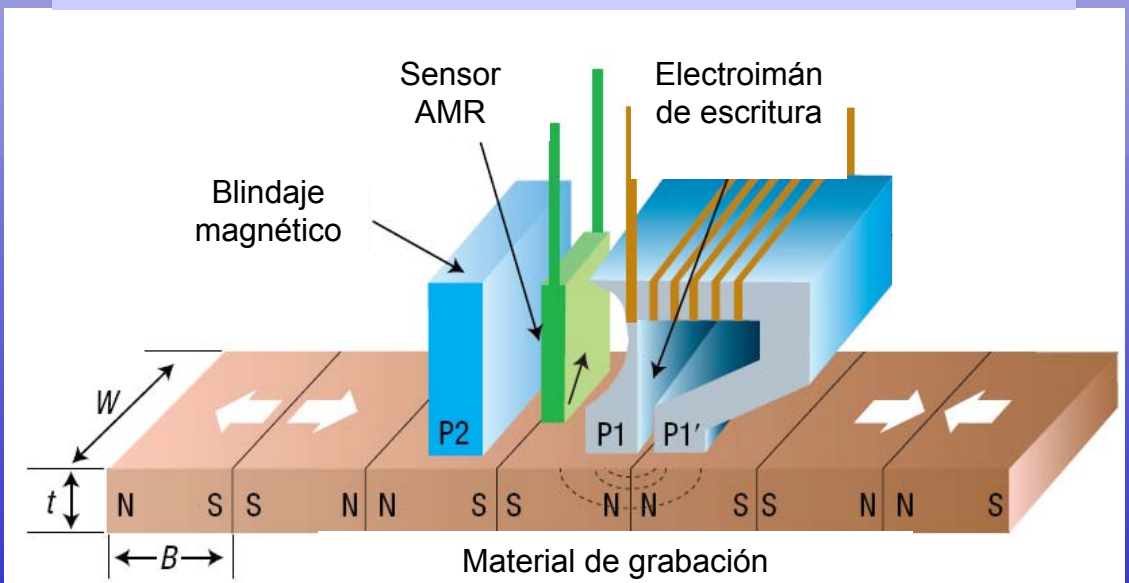
Menor sección eficaz:
Menor resistencia

Mayor sección eficaz:
Mayor resistencia

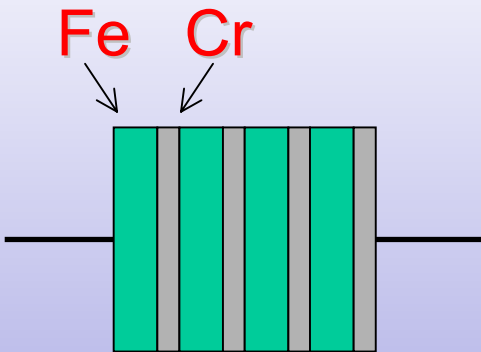


1856 William Thomson (Lord Kelvin)

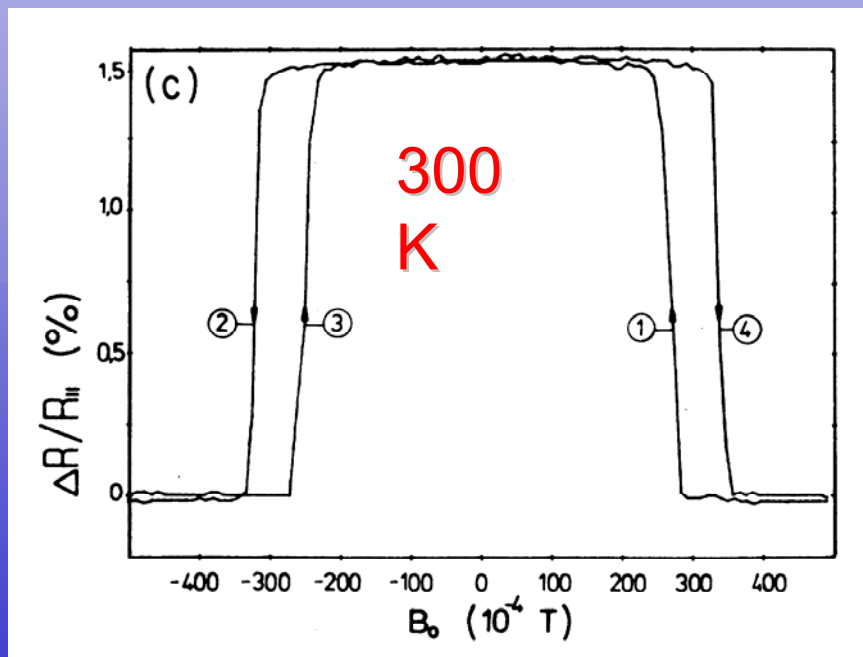
Sensores de lectura AMR 1960-1997



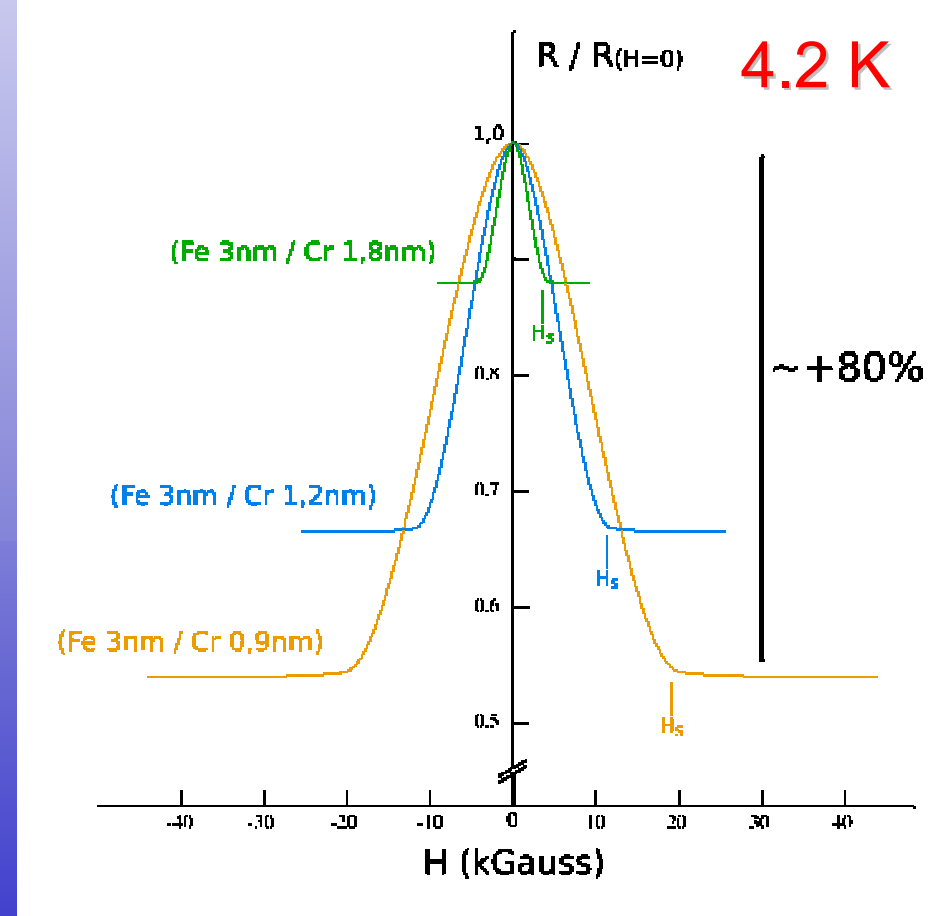
Magnetoresistencia gigante



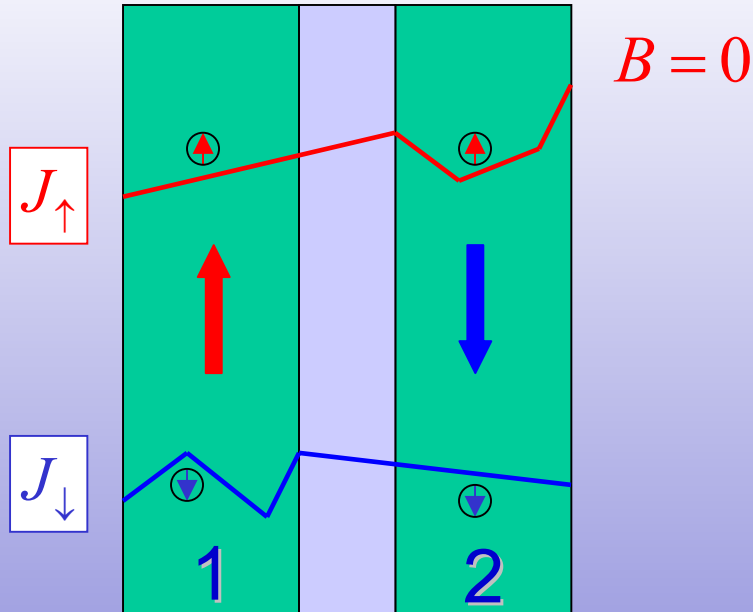
Binasch et al., Phys. Rev. B 38, 4828 (1989)
(GRÜNBERG)



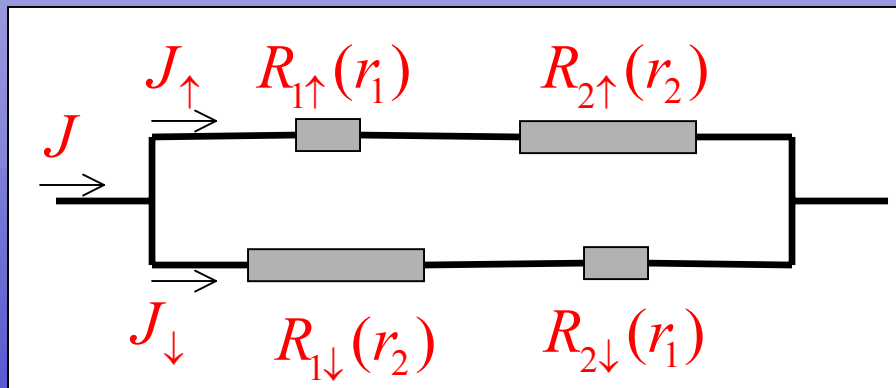
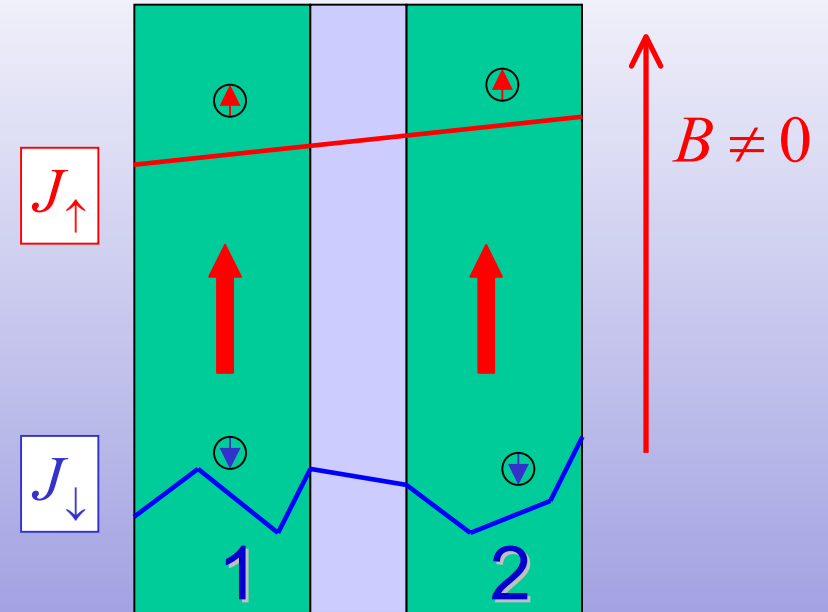
Baibich et al., Phys. Rev. Lett. 61, 2472 (1988)
(FERT)



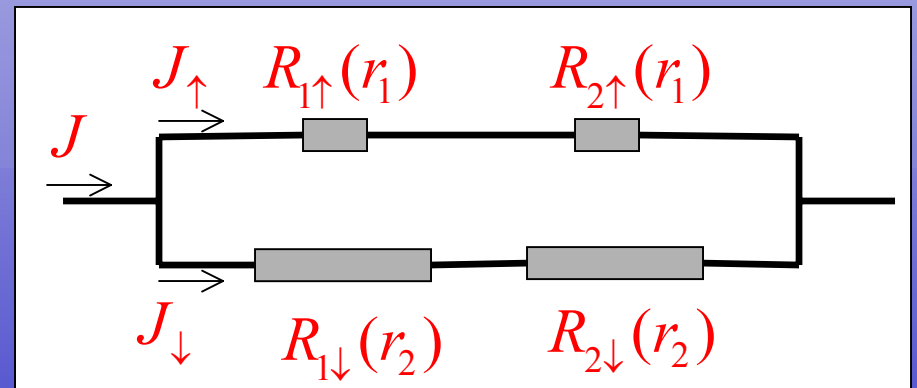
FM NM FM



FM NM FM



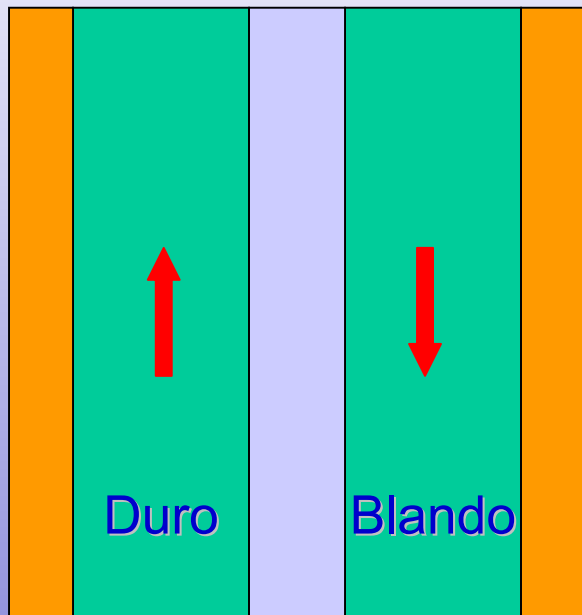
$$R_{B=0} = \frac{r_1 + r_2}{2} \approx \frac{r_2}{2} \quad (r_1 \ll r_2)$$



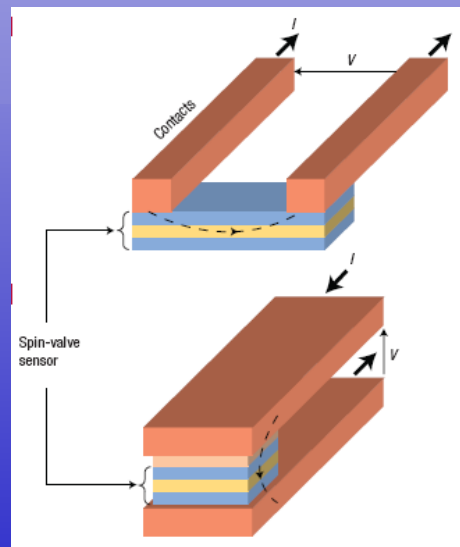
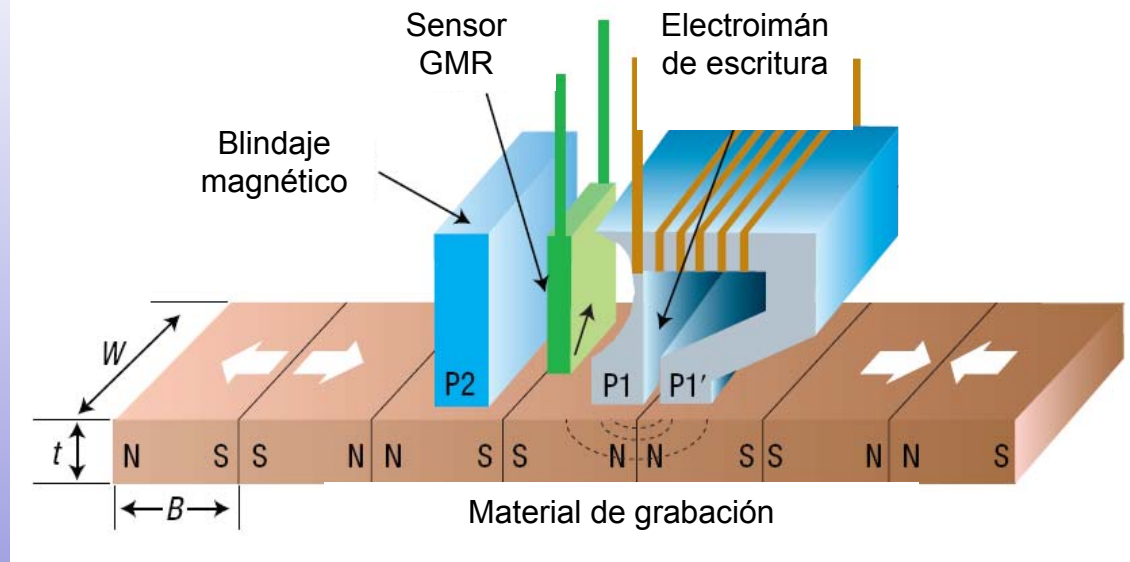
$$R_{B \neq 0} = \frac{2r_1 \times 2r_2}{2r_1 + 2r_2} \approx 2r_1 \quad (r_1 \ll r_2)$$

Válvula de espín

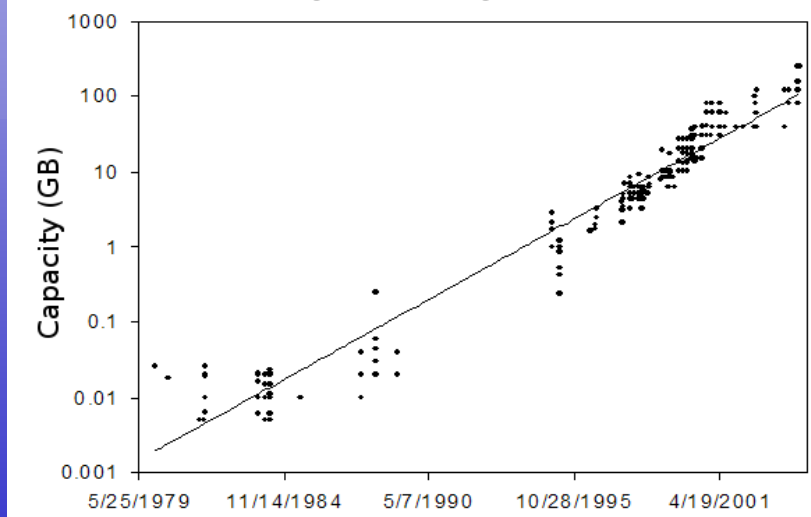
FM1 NM FM2



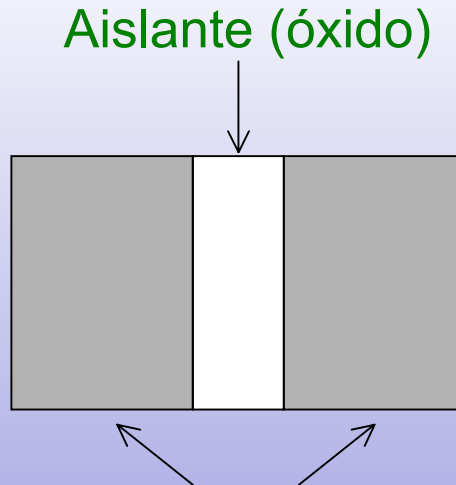
Sensores de lectura GMR 1997



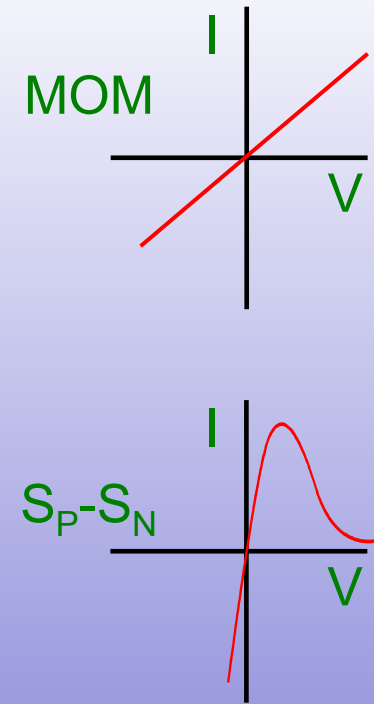
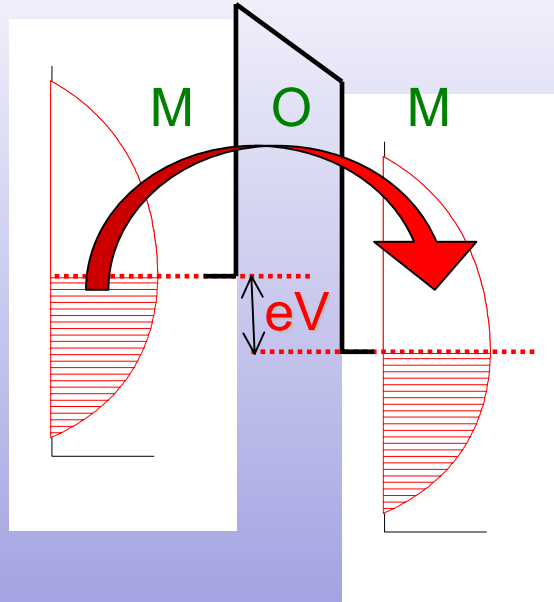
Ley de Kryder



Efecto túnel en sólidos



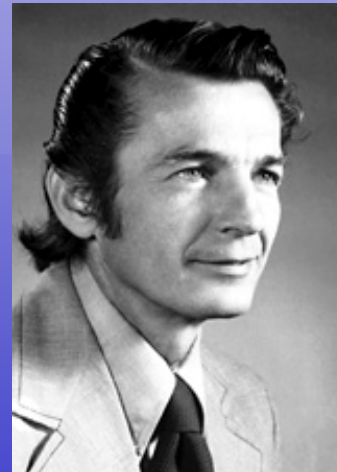
Aislante (óxido)
↓
Semiconductor, Metal o
Superconductor



Premio Nobel de Física 1973



Leo Esaki



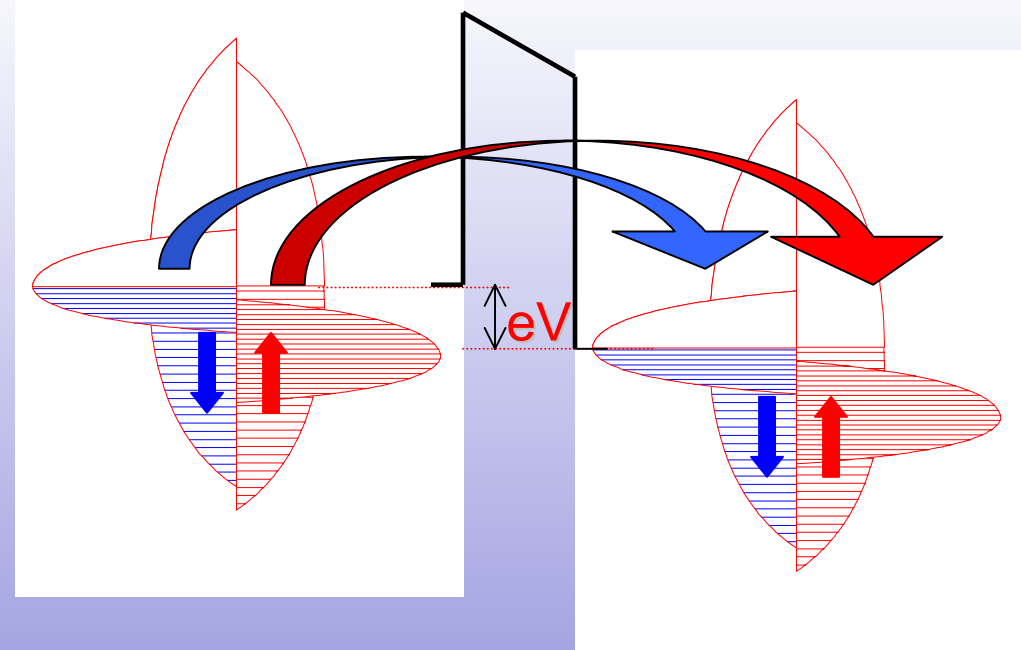
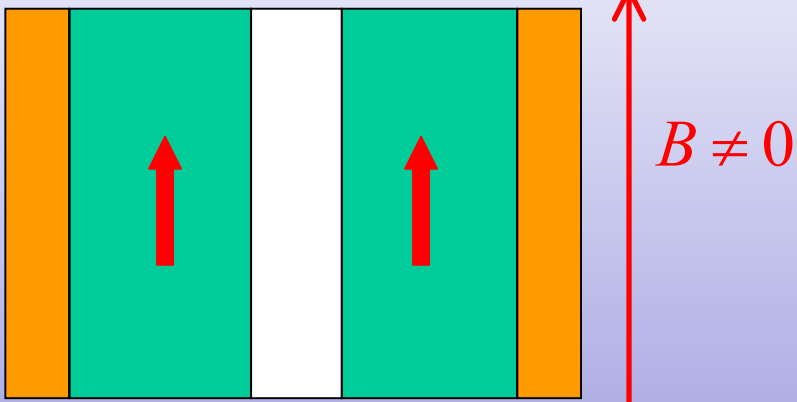
Ivar Giaever



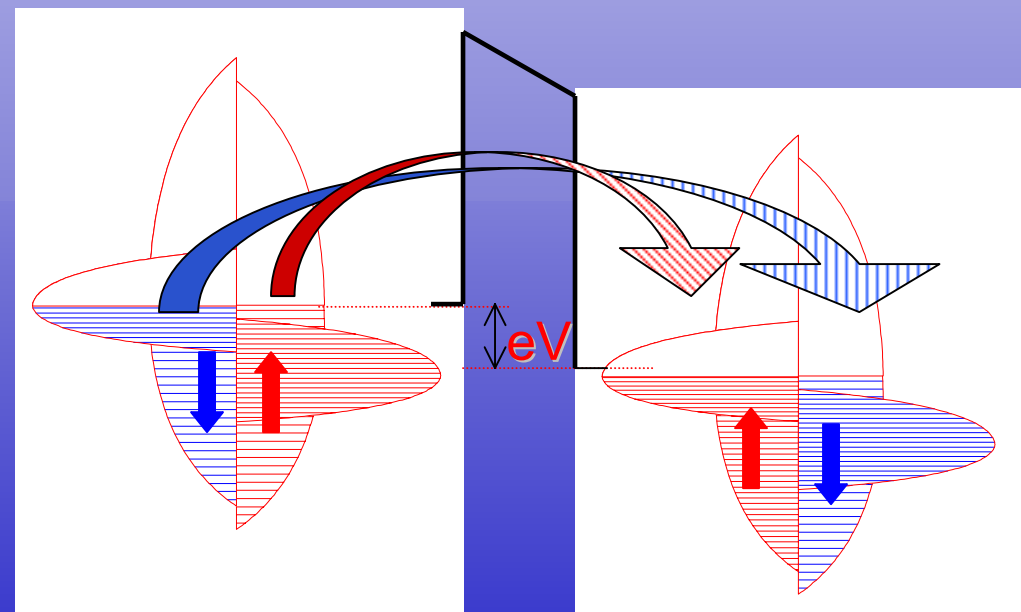
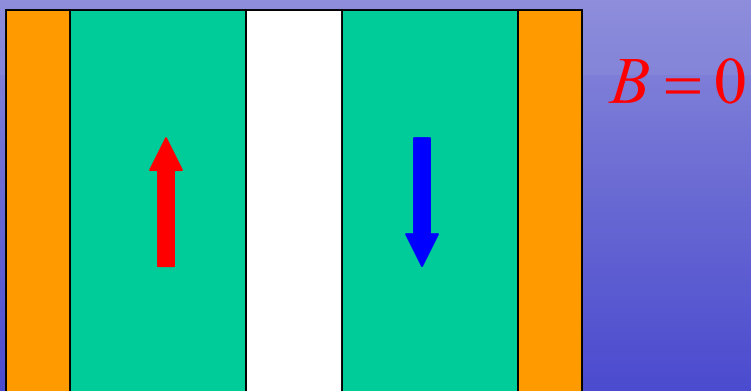
Brian D. Josephson

Unión túnel magnética

FM1 A FM2

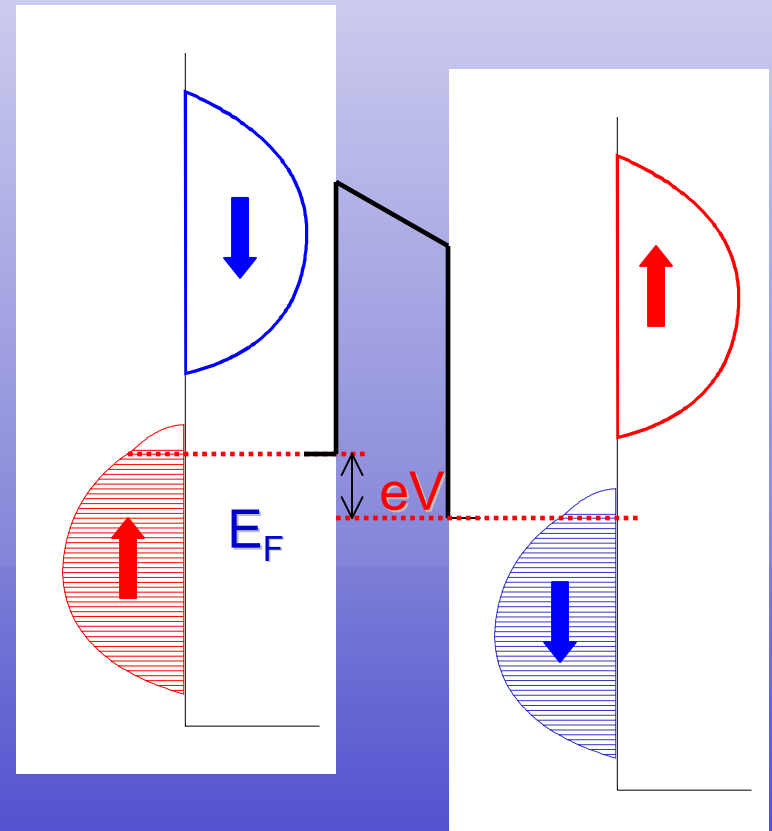
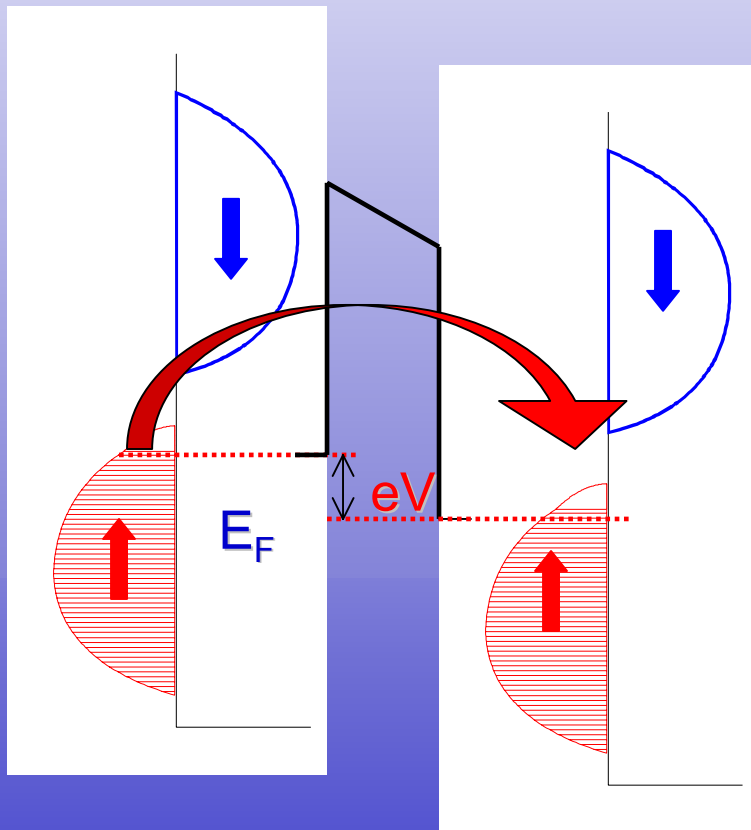


FM1 A FM2

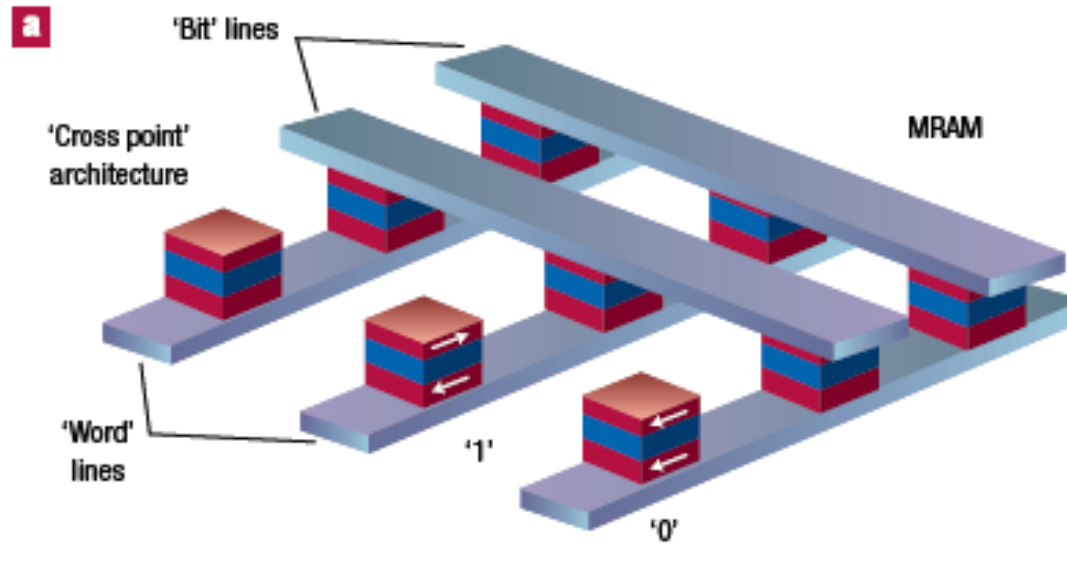


Aumentando el efecto GMR: corrientes con 100% de polarización de espín en semimetales o semiconductores ferromagnéticos

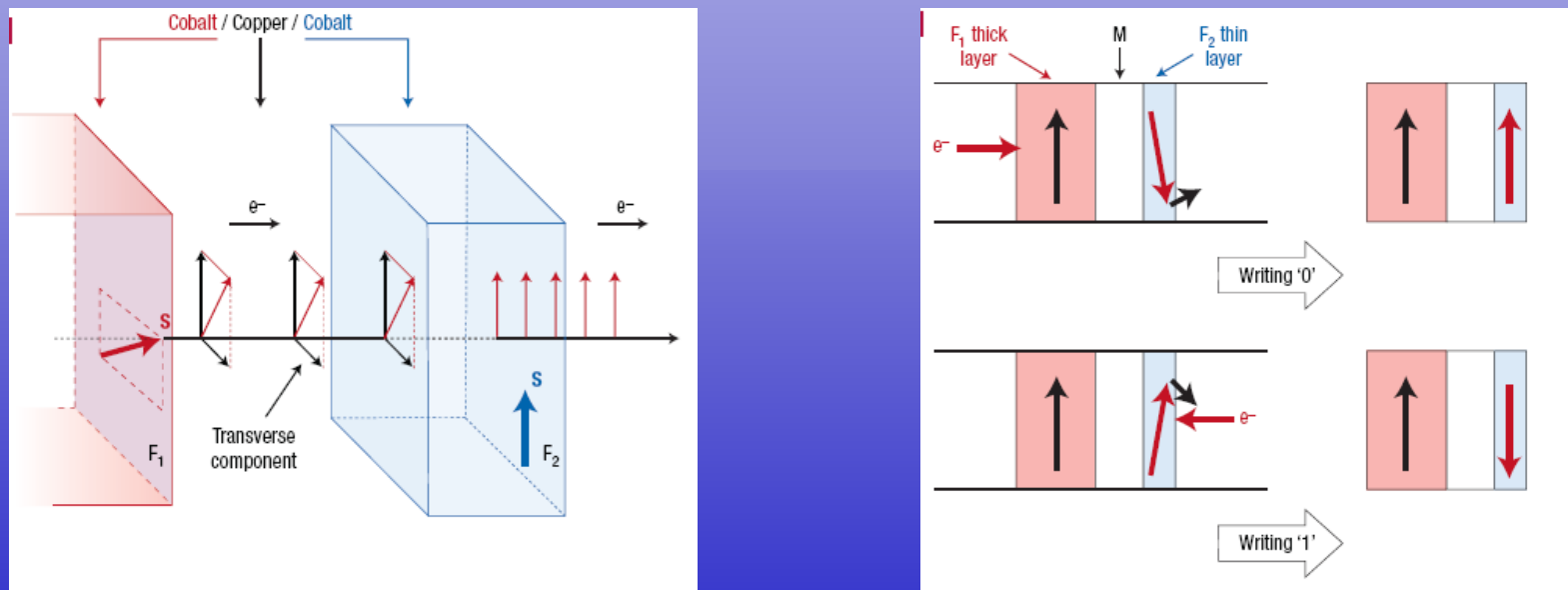
CrO_2 , $\text{La}_{2/3}\text{Sr}_{1/3}\text{MnO}_3$



Memoria RAM magnética

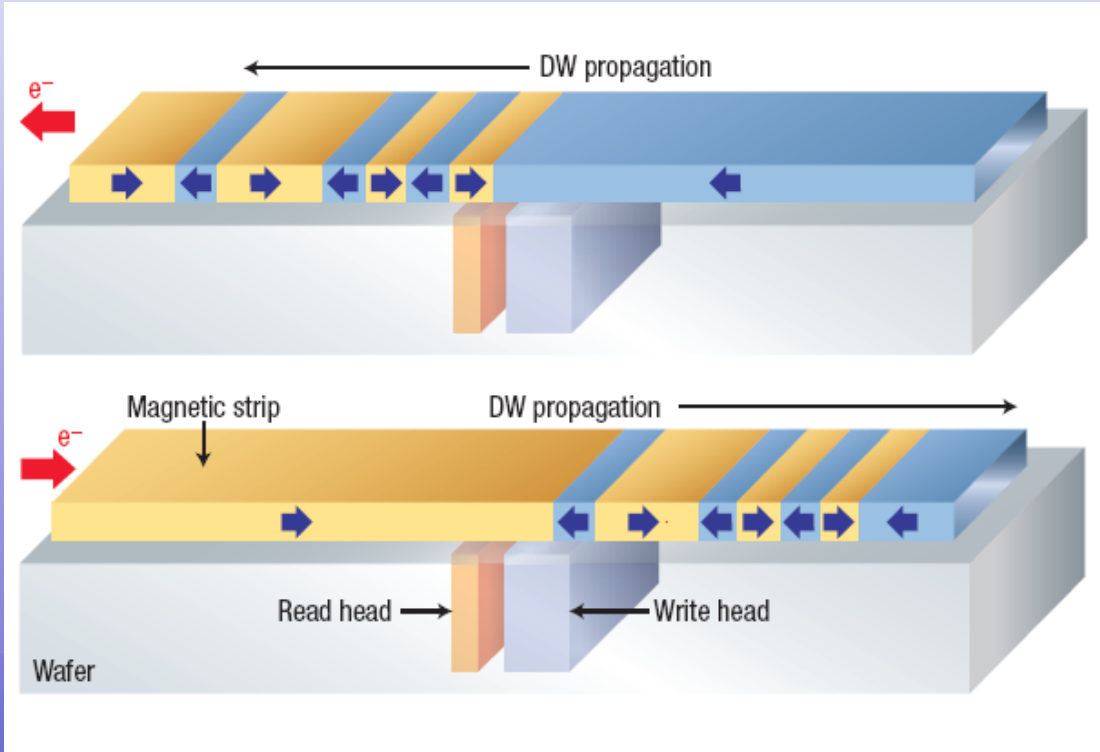


Comutación por transferencia de spin

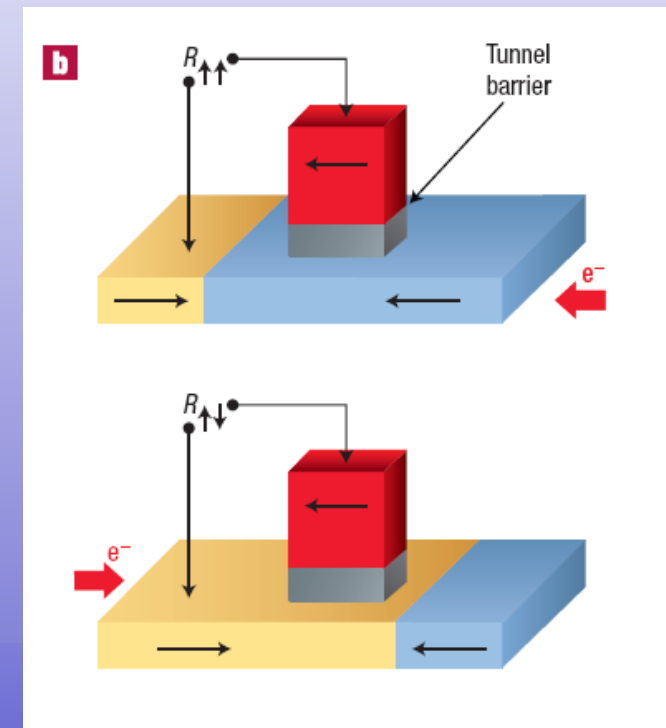


Arrastre de paredes de los dominio ferromagnéticos

Lectura/escritura

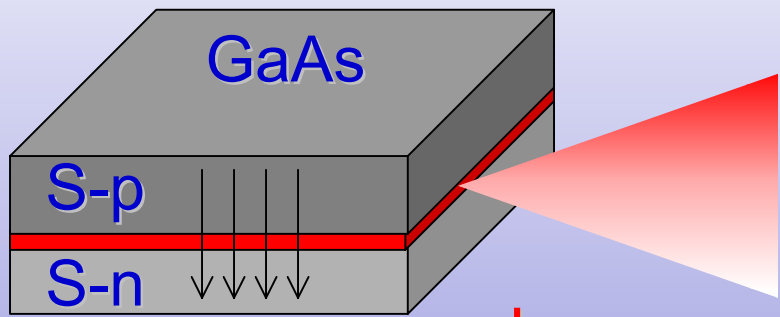


Bit MRAM

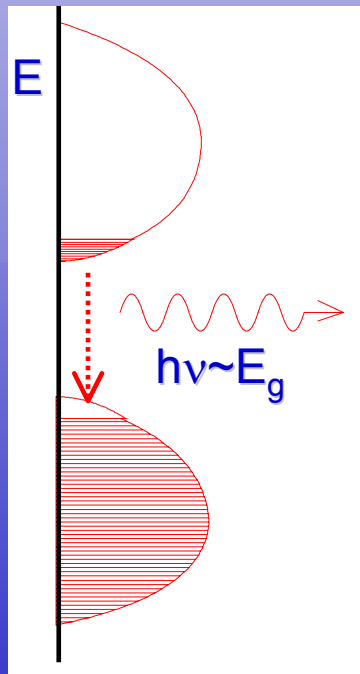


Otros dispositivos: LED de espín

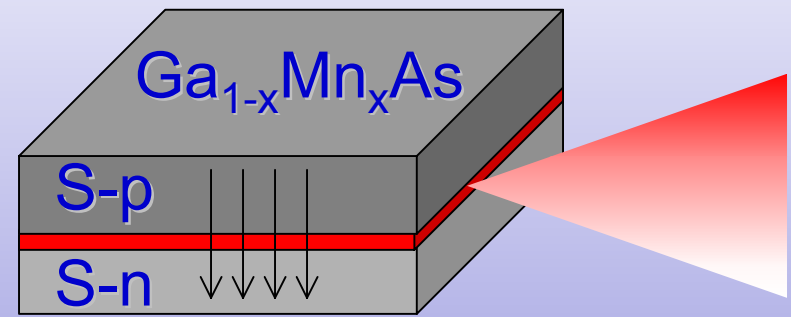
LED



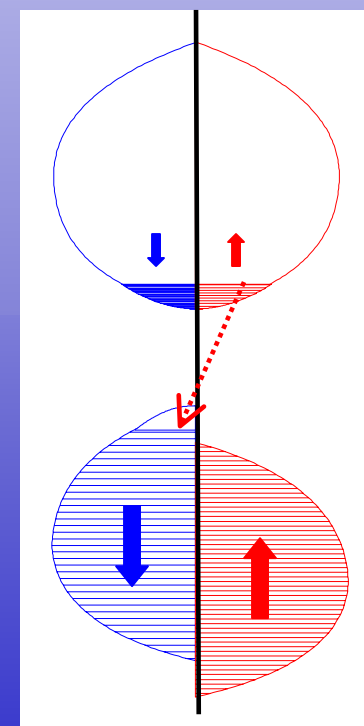
Luz no polarizada



LED de espín



Luz polarizada circularmente

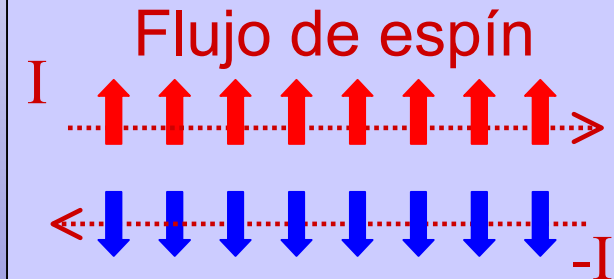


Electrónica versus espintrónica

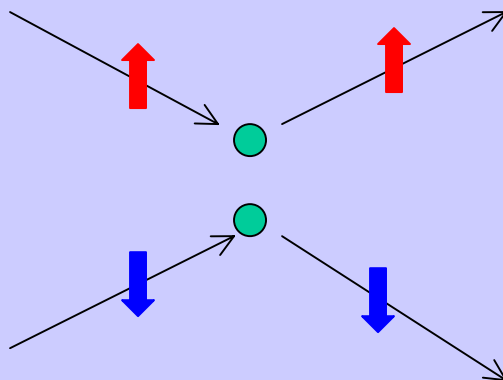
Corriente eléctrica:
flujo de carga

Válvulas de espín:
Flujo de electrones con
polarización de espín

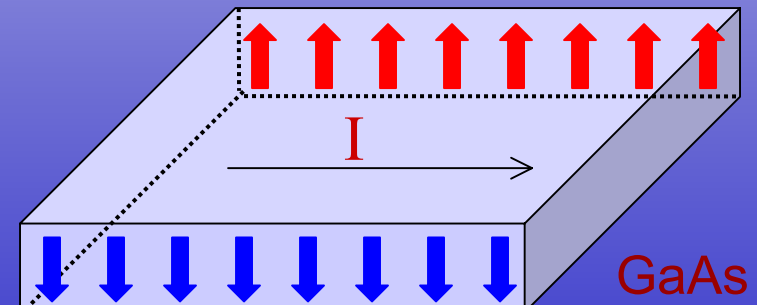
“Corriente” de espín:
flujo de espín



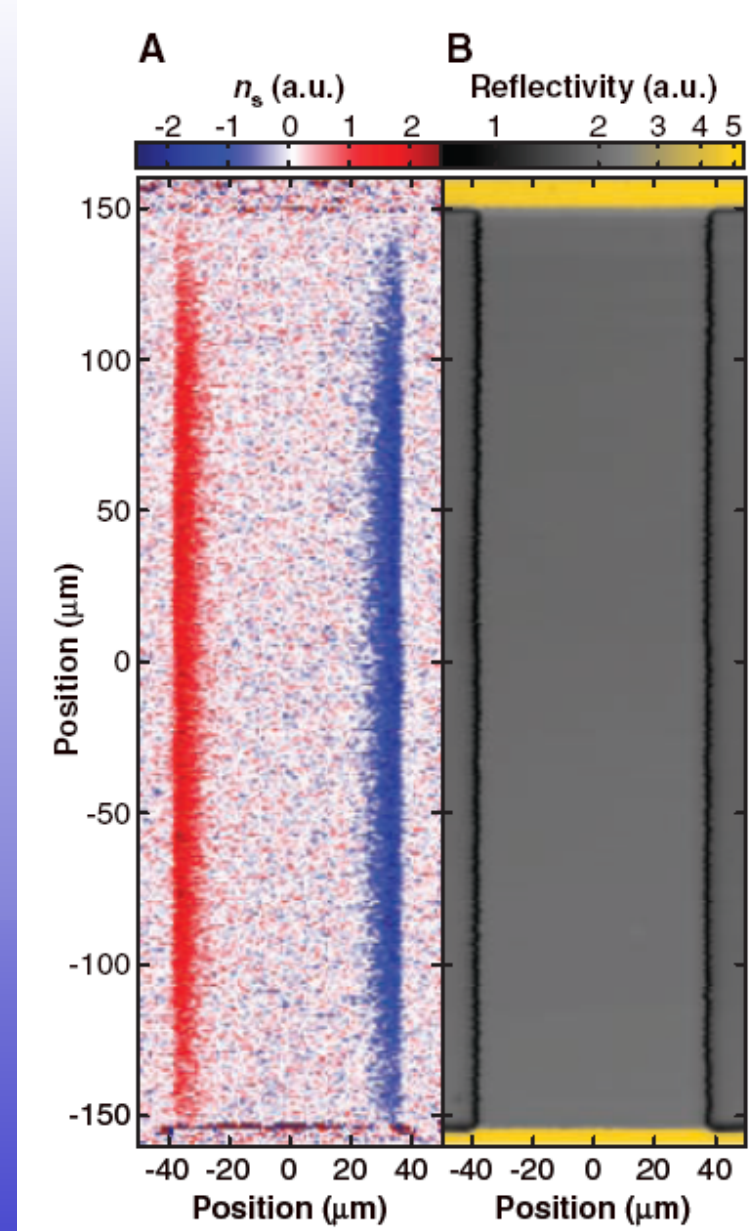
Asimetría en la dispersión



Efecto Hall de espín



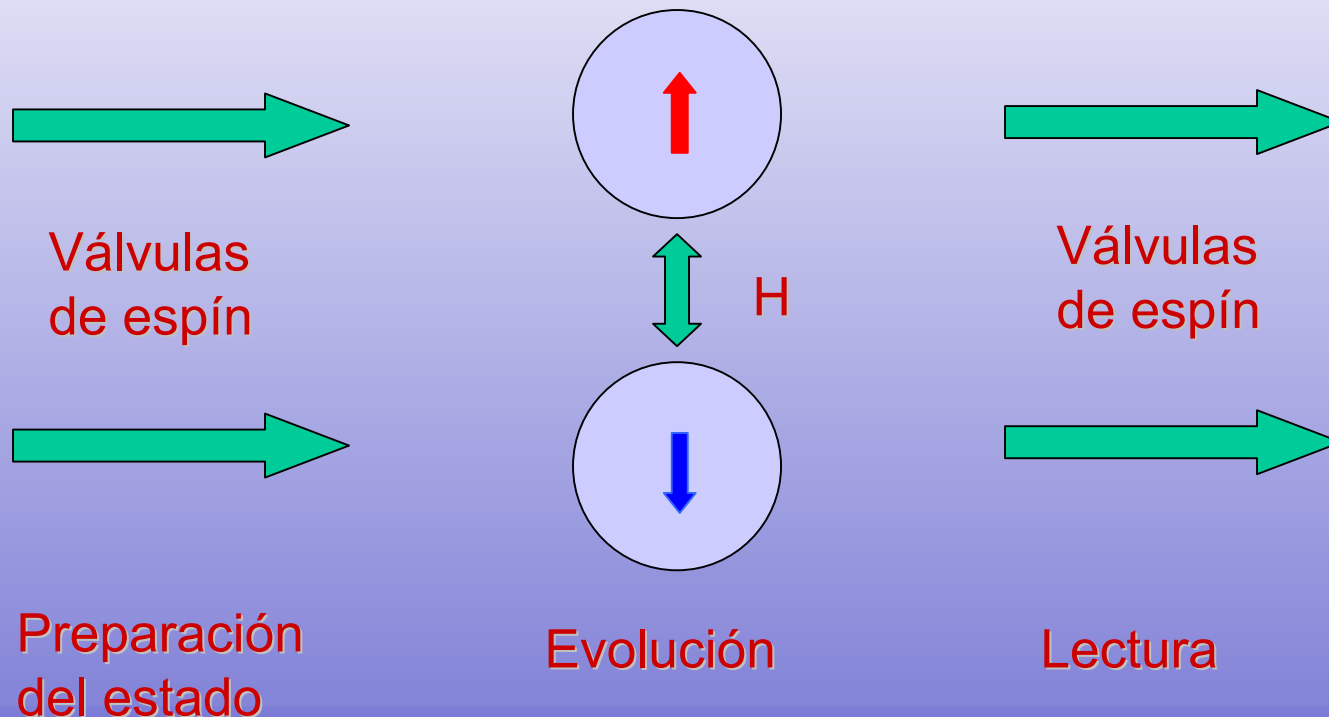
Detección del efecto Hall de espín mediante efecto Kerr



Y. K. Kato, et al. *Science* 306, 1910 (2004)

Otros dispositivos: QUBITS

Trampas de espín



**Qubits atómicos:
Trampas magnéticas
en vacío**

**Qubits sólidos:
Puntos cuánticos en
semiconductores**